

ПОСТРОЕНИЕ СЕТИ ФОТОТРИАНГУЛЯЦИИ МЕТОДОМ СВЯЗОК ПО ФОТОТЕОДОЛИТНЫМ СНИМКАМ

Практическая задача сгущения опорной сети в камеральных условиях возникла при детальных геолого-структурных исследованиях месторождений в северо-западном Тянь-Шане, рудоносные пласти которых выходят в узкое ущелье, один из склонов которого имеет высоту 400...600 м, крутизну 70...80° и протяженность 4 км. На таком почти вертикальном склоне необходимо определить параметры трещин, координаты выходов рудоносных пластов. Ввиду недоступности объекта для решения таких задач наиболее рационален фотограмметрический метод, а фототриангуляция, созданная по материалам фототеодолитной съемки, является оптимальным способом сгущения обоснования. Поэтому нами разработан соответствующий алгоритм и создана программа для ЕС ЭВМ, позволяющие максимально использовать всю полезную информацию, получаемую из полевых работ при фототеодолитной съемке.

Использование методов фототриангуляции по фототеодолитным снимкам, в частности метода связок, как наиболее строгого, целесообразно при инженерных изысканиях с точки зрения точности и экономической эффективности [1, 4, 6].

Идея метода связок достаточно хорошо известна [2] и основана на соблюдении условий коллинеарности для всей совокупности точек, изображенных на фотоснимке.

Таким образом, идею метода можно позаимствовать из аэрофототриангуляции с учетом ниже перечисленных отличительных черт (исходные геодезические (опорные) данные более разнообразны и могут быть известны элементы внешнего ориентирования снимков):

1. В наземной фотосъемке с одной фотостанции можно получить несколько снимков (со скосами φ_i влево—вправо, с наклоном главного оптического луча на углы $\omega_i \neq 0$).

2. Любой наклон либо скос фотокамеры приводит к пространственному смещению передней узловой точки объектива относительно фотостанции (закрепленной на местности с известными координатами), поэтому такие снимки нельзя рассматривать как полученные из одного центра проекции.

3. Исходными геодезическими (опорными) данными могут быть все или некоторые (в определенном сочетании) из нижеперечисленных величин:

пространственные (геодезические) координаты фотостанций $(X, Y, Z)_{Q_{0L}}^r, (X, Y, Z)_{Q_{0R}}^r$, где индексами л, п обозначена левая и правая фотостанции одного базиса съемки;

пространственные (геодезические) координаты левой (или правой) фотостанции, длина базиса съемки B (или B_{XY} — горизонтальное проложение), превышение правой фотостанции над левой B_Z , дирекционный угол A ;

высоты h_L, h_R фототеодолита над точками Q_{0L}, Q_{0R} ;

пространственные (геодезические) координаты корректурных точек $(X, Y, Z)_K^r$, расположенные на местности произвольно, но изобразившиеся, как минимум, на одной стереопаре;

горизонтальные направления β_i на корректурные точки, измеренные как отклонение направления от перпендикуляра к базису фотографирования (оси Y_Φ);

вертикальные направления γ_i , измеренные как отклонение направления от горизонтальной плоскости $X_\Phi Y_\Phi$, проходящей через точку Q (рис. 1).

Возможна фиксация угловых элементов ориентирования по уровням и ориентирному устройству.

4. Исходными фотограмметрическими данными являются элементы внутреннего ориентирования фотокамеры, расстояние между координатными метками (из паспорта прибора или из исследований), расстояние r (внекентрность объектива) от передней узловой точки S объектива до точки Q (см. рис. 1), отсчеты по шкалам стереокомпьютера x, z, p, q при наведении измерительной марки на координатные метки или точки фототриангуляционной сети (корректурные, связующие, определяемые, контрольные). Построение сети фототриангуляции выполняется в три этапа: подготовительные геодезические вычисления; предварительная фотограмметрическая обработка; уравнивание блока фототриангуляции по методу связок.

На первом этапе различные опорные данные, относящиеся к базису фотографирования, приводятся к единому виду: координатам $(X, Y, Z)_{Q_{0L}}^r, (X, Y, Z)_{Q_{0R}}^r$ точек Q_{0L}, Q_{0R} . Если эти значения приближенные, то в процессе уравнивания они уточняются.

На втором этапе известным приемом [3] выполняют переход от отсчетов по шкалам стереокомпьютера к координатам точек

x_L, z_L, x_R, z_R на левом и правом снимках с введением поправок, учитывающих влияние систематических ошибок. Поскольку реализация метода связок требует отыскания поправок к искомым координатам точек сети, то начальные значения геодезических координат находим из решения прямой фотограмметрической засечки. Если элементы внешнего ориентирования снимков известны точно, то уравнивание, естественно, не выполняется, а приве-

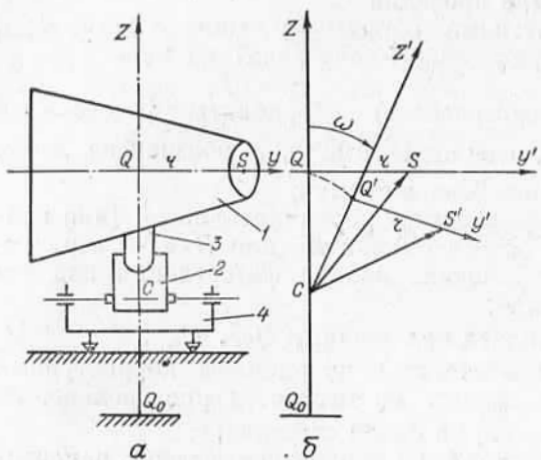


Рис. 1. Влияние наклона фотокамеры на положение центра проекции: основные прямые и точки (a); геометрическая интерпретация смещений точек при наклоне камеры (б):

1 — фотокамера; 2 — подставка для наклона фотокамеры; 3 — вертикальная ось фототеодолита; 4 — трегер; С — центр вращения приставки; Q_0 — точка (репер) фотостанции; Q — пересечение вертикальной оси с главной оптической осью фотокамеры; ω — угол наклона камеры; S — передняя узловая точка объектива.

денная ниже формула служит для вычисления окончательных значений пространственных фотограмметрических координат:

$$\begin{pmatrix} X \\ Y \\ Z \end{pmatrix}_t^r = \begin{pmatrix} X \\ Y \\ Z \end{pmatrix}_{Q_0}^r + r \cdot \begin{pmatrix} b_2 \\ a_2 \\ c_2 \end{pmatrix}_t + \frac{B_t}{p_t} \begin{pmatrix} f \\ x_{t_n} \\ z_{t_n} \end{pmatrix}, \quad (1)$$

где x_{t_n} , z_{t_n} , p_t , B_t — трансформированные координаты, параллакс и базис фотографирования; направляющие косинусы a_i , b_i , c_i вычисляются по углам наклона камеры α , ω , ξ (α — угол, образованный осью X^r и проекцией главной оптической оси фотокамеры на горизонтальную плоскость: $\alpha = A + \varphi - 90^\circ$); r — величина внецентренности объектива. Как видно из рис. 1, передняя узловая точка S и точка Q лежат на оптической оси фотокамеры, поэтому нет необходимости определять координаты центров проекций снимков, а достаточно найти координаты точки Q . Из этих соображений в (1) и дальнейших формулах координаты центров проекций выражены через координаты точки Q и величину r .

Затем по всей совокупности точек с известными (в том числе и вычисленными по формуле (1)) геодезическими координатами находится центр тяжести блока и выполняется параллельный перенос геодезической системы координат в эту условную точку.

На третьем этапе происходит формирование уравнений поправок, решение их по методу наименьших квадратов, проверка ит-

ративного процесса на сходимость и оценка точности уравнения.

Для каждой точки левого (правого) снимка составляются два уравнения:

$$\begin{aligned} |d_1 \delta X_Q + d_2 \delta Y_Q + d_3 \delta Z_Q| + |d_4 \delta \alpha + d_5 \delta \omega + d_6 \delta \kappa| - |(d_1 \delta X + \\ + d_2 \delta Y + d_3 \delta Z)| + |(\bar{x} - x)| = v_x, \\ |d'_1 \delta X_Q + d'_2 \delta Y_Q + d'_3 \delta Z_Q| + |d'_4 \delta \alpha + d'_5 \delta \omega + d'_6 \delta \kappa| - \\ - |(d'_1 \delta X + d'_2 \delta Y + d'_3 \delta Z)| + |(\bar{z} - z)| = v_z, \end{aligned} \quad (2)$$

N	n	Потребки к точкам Q_i, Q_m	Потребки к целям элементам блокиро- ванных координат	Потребки к координатам точек съемки
		$\delta Q^2 \delta Q^2 \delta Q^2 \delta Q^2 \delta Q^2 \delta Q^2$	$\delta c^2 \delta c^2 \delta c^2 \delta c^2 \delta c^2 \delta c^2$	$3, 6, 8, 10, 11, 13, 15, 16, 18, 20, 23, L$
	$1-2$	1, 5, 6, 8, 11, 13, 15, 17, 19, 21, 23	1, 2, 3, 4, 5, 6, 7, 8, 9, 10, 11, 12, 13, 14, 15, 16, 17, 18, 19, 20, 21, 22, 23	
	$2-3$	1, 3, 5, 7, 9, 11, 13, 15, 17, 19, 21, 23	1, 2, 3, 4, 5, 6, 7, 8, 9, 10, 11, 12, 13, 14, 15, 16, 17, 18, 19, 20, 21, 22, 23	
	$4-5$	11, 13, 15, 16, 17, 18, 19, 21, 23	1, 2, 3, 4, 5, 6, 7, 8, 9, 10, 11, 12, 13, 14, 15, 16, 17, 18, 19, 20, 21, 22, 23	
	$5-6$	13, 15, 16, 17, 18, 19, 20, 21, 22, 23	1, 2, 3, 4, 5, 6, 7, 8, 9, 10, 11, 12, 13, 14, 15, 16, 17, 18, 19, 20, 21, 22, 23	

Рис. 2. Матрица коэффициентов уравнений по правок.

где $d_1, d_2, d_3, \dots, d_6'$ — частные производные, полученные из уравнений (3) путем дифференцирования по соответствующим переменным; x, z — измеренные координаты; \bar{x}, \bar{z} — вычисленные координаты;

$$\begin{aligned} \bar{x} &= f \frac{b_1(X^r - X_Q^r) + a_1(Y^r - Y_Q^r) + c_1(Z^r - Z_Q^r)}{b_2(X^r - X_Q^r) + a_2(Y^r - Y_Q^r) + c_2(Z^r - Z_Q^r) - r}; \\ \bar{z} &= f \frac{b_3(X^r - X_Q^r) + a_3(Y^r - Y_Q^r) + c_3(Z^r - Z_Q^r)}{b_2(X^r - X_Q^r) + a_2(Y^r - Y_Q^r) + c_2(Z^r - Z_Q^r) - r}; \end{aligned} \quad (3)$$

a_i, b_i, c_i — направляющие косинусы, вычисленные по углам α, ω, κ .

В матричной форме для всей совокупности точек (кроме корректурных) система (2) имеет вид

$$A_{ij}\delta Q + B_{ik}\delta \varepsilon - A_{im}\delta R + L_i = V_i, \quad (4)$$

где $A_{ij}, B_{ik}, A_{im}, L_i, V_i$ — блоки, отмеченные пунктирными линиями в (2) и изображенные клетками на рис. 2; индексы i, j, k, m — указывают номера строк и столбцов блоков; $\delta Q, \delta \varepsilon, \delta R$ —

векторы отыскиваемых поправок. Структура блоков очевидна из сопоставления (4) и (2).

Если координаты станций известны точно, то система (4) принимает вид

$$B_{ij}\delta e - A_{ih}\delta R + L_i = V_i. \quad (5)$$

Если угловые элементы внешнего ориентирования известны точно, то система (4) принимает вид

$$A_{ij}\delta Q - A_{ih}\delta R + L_i = V_i. \quad (6)$$

Для корректурных точек, если угловые элементы ориентирования подлежат уточнению, уравнения поправок имеют вид

$$A_{ij}\delta Q + B_{ih}\delta e + L_i = V_i, \quad (7)$$

если же углы заданы точно, то имеем

$$A_{ij}\delta Q + L_i = V_i. \quad (8)$$

Если в списке исходных данных имеется превышение B_Z для двух фотостанций, то возникает уравнение

$$\begin{aligned} \delta Z_{Q_n} &= \delta Z_{Q_a} + h^\circ - h = V_h, \\ h^\circ &= Z_{Q_n}^r - Z_{Q_a}^r, \quad h = B_Z + (h_n - h_a). \end{aligned} \quad (9)$$

Для известного базиса съемки B (расстояние между точками Q_a и Q_n) уравнения поправок имеют вид

$$\begin{aligned} g_1 \delta X_{Q_n} + g_2 \delta Y_{Q_n} + g_3 \delta Z_{Q_n} - g_1 \delta X_{Q_a} - g_2 \delta Y_{Q_a} - \\ - g_3 \delta Z_{Q_a} + B^\circ - B = V_B, \end{aligned} \quad (10)$$

де g_1, g_2, g_3 — частные производные, аналитические выражения для которых получены из формулы

$$B = [(X_{Q_n}^r - X_{Q_a}^r)^2 + (Y_{Q_n}^r - Y_{Q_a}^r)^2 + (Z_{Q_n}^r - Z_{Q_a}^r)^2]^{1/2}, \quad (11)$$

B° — вычисленный в процессе итераций базис съемки.

Для горизонтальных β и вертикальных γ направлений на корректурные точки имеем уравнения

$$\begin{aligned} t_1 \delta X_Q + t_2 \delta Y_Q - t_1 \delta X - t_2 \delta Y + \beta^\circ - \beta &= v_\beta, \\ t'_1 \delta X_Q + t'_2 \delta Y_Q + t'_3 \delta Z_Q - t'_1 \delta X - t'_2 \delta Y - t'_3 \delta Z + \gamma^\circ - \gamma &= v_\gamma, \end{aligned} \quad (12)$$

где $\beta^\circ, \gamma^\circ$ — приближенные (вычисленные) значения углов; t_1, t_2, \dots, t'_3 — частные производные, полученные из формул

$$\operatorname{tg} \beta^\circ = (Y^r - Y_Q^r)/(X^r - X_Q^r); \quad (13)$$

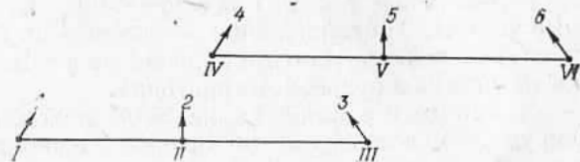
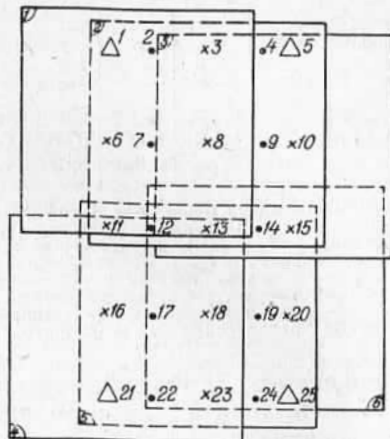
$$\operatorname{tg} \gamma^\circ = (Z^r - Z_Q^r)/[(X^r - X_Q^r)^2 + (Y^r - Y_Q^r)^2]^{1/2}. \quad (14)$$

Значения частных производных подлежат уточнению в ходе итеративного процесса; поэтому после исправления в текущей ите-

рации вектора-столбца неизвестных происходит повторное вычисление коэффициентов (новых значений частных производных).

Процесс формирования уравнений поправок имеет свои особенности ввиду наличия разнообразной информации. Здесь должно быть учтено, что для снимков, полученных с одной фотостанции, поправки к координатам точки Q помещают в одних и тех же столбцах; для снимка, входящего в различные стереопары, поправки к элементам внешнего ориентирования располагают в одних и тех же столбцах; для точки, общей для разных снимков, поправки к пространственным координатам записывают в одних

Рис. 3. Схема расположения базисов съемки, снимков и точек макетного блока:
— опорные точки; \times — точки сети; \circ — точки, по которым составлена схема матрицы коэффициентов уравнений поправок; 1 — номер снимка, полученного с указанной фотостанции; $I-VI$ — центры фотостанций.



и тех же столбцах; для опорной (корректурной) точки поправки в пространственные координаты не находят; при точных значениях угловых элементов внешнего ориентирования соответствующие поправки не вычисляют; при точных значениях координат фотостанций соответствующие поправки не находят.

Структура матрицы уравнений поправок для блока довольно сложна. В качестве примера формирования системы уравнений поправок для макетного блока снимков, показанного на рис. 3, составлена схема матрицы коэффициентов уравнений поправок (см. рис. 2). Схема дана только для точек, отмеченных знаком \times .

Дальнейший путь решения задачи известен из уравнительных работ: переход к нормальным уравнениям; проверка итерационного процесса на сходимость; вычисление исправленных значений искомых неизвестных; оценка точности уравнивания.

Изложенный алгоритм реализован в виде комплекса программ для ЕС ЭВМ, написанных на языке Фортран-IV; на их базе можно уравнивать стереопару, маршрут или блок. Выбор необходимого варианта счета определяется заданным набором опорных данных. Структура набора исходных данных состоит из трех уровней. Первый уровень — исходные данные, общие для блока (элементы внутреннего ориентирования камеры, геодезические координаты опорных точек, допуски, некоторые управляющие параметры).

**Точность сгущения сети фототриангуляции
при различных опорных данных**

Ср. кв. ошибки, м	Варианты опорных данных						
	1	2	3	4	5	6	7
m_x	0,024	0,022	0,018	0,015	0,016	0,018	0,018
m_y	0,118	0,091	0,062	0,190	0,054	0,059	0,059
m_z	0,029	0,038	0,017	0,019	0,014	0,016	0,016

Приимечания: 1—4 — опорные планово-высотные точки (ОП); 2—4 — ОП, длина базисов и превышения между фотостанциями; 3—4 — ОП, корректурные направления, длина базисов и превышения между фотостанциями; 4—4 — корректурные направления, длина базисов и превышения между фотостанциями; 5—4 — корректурные направления и координаты фотостанций; 6—4 — ОП и координаты фотостанций; 7—4 — ОП, 4 корректурные направления и координаты фотостанций.

Второй уровень — данные, которые относятся к базису съемки (ими могут быть точные или приближенные координаты фотостанций, длина базиса и превышение правой фотостанции над левой, горизонтальные и (или) вертикальные направления на корректурные точки). Третий уровень — данные по стереопарам (номер стереопары, точные или приближенные углы наклона камеры, отсчеты по шкалам стереокомпьютера).

В процессе обработки на ЭВМ исходная информация контролируется и сообщения об ошибках выводятся на печать; в зависимости от характера ошибки счет на ЭВМ продолжается или прекращается.

Для проверки алгоритма и программы использованы макетные снимки, имитирующие фототеодолитную съемку почти вертикального склона (см. рис. 3). Параметры фотокамеры: формат кадра 13×18 см, фокусное расстояние $f = 200$ мм, координаты главной точки $x_0 = z_0 = 0$. Количество базисов съемки — 4 при средней длине каждого из них 160 м; отстояния колеблются в пределах 300..500 м. Блок состоит из шести снимков и включает 25 точек сети. Четыре опорные точки расположены по углам блока; горизонтальные и вертикальные корректурные направления заданы на эти же четыре точки.

В истинные координаты и параллаксы точек снимков вводились на ЭВМ по стандартной программе «GAUSS» нормально распределенные случайные ошибки со средними квадратическими ошибками $m_{x,z} = 0,01$ мм и $m_{p,q} = 0,007$ мм. Из набора опорных дан-

ных сформированы различные допустимые варианты, и для каждого варианта просчитан на ЭВМ ряд серий фототриангуляции с различными генерированными случайными ошибками. Затем для каждого варианта из всех серий по 21...25 контрольным точкам вычислены средние квадратические ошибки пространственных координат точек t_x , t_y , t_z и оценки доверия к ним σ_x , σ_y , σ_z . Результаты эксперимента приведены в таблице.

Анализ полученных результатов свидетельствует о том, что точность сгущения координат X и Z во всех случаях почти одинакова ($\sigma_x = 0,004$, $\sigma_z = 0,003$). Варианты 3, 5, 6, 7 дают одинаковую точность определения ординаты Y ($\sigma_y = 0,014$). В вариантах 1 и 2 наблюдается снижение точности по Y примерно в 1,5 раза, а в варианте 4 — в 3 раза. Следовательно, оптимальным является набор опорных данных типа 3, 5, 6, 7.

Список литературы: 1. Кудрявцев Г. Н. Аналитические методы обработки материалов наземной стереофотограмметрии. — В сб.: Наземная стереофотограмметрия при инженерных изысканиях и съемках. Новосибирск, 1975. 2. Лобанов А. Н. Аналитическая фотограмметрия. — М.: Недра, 1972. 3. Финковский В. Я., Дорожинский А. Л., Тумская О. В., Любимов И. Н. Методы и алгоритмы создания цифровой модели рельефа для машинного проектирования мелиоративных систем. — Львов: Вища школа, 1980. 4. Buoi Vu Ngor, Schulte H. U. Untersuchungen zur genauigkeitssteigerung bei analytischen Auswertungen terrestrischer Bildpaare durch Einbeziehung zusätzlicher Parameter. — Vermessungstechnik, 1979, v. 27, № 5. 5. Veress S. A., Hatzopoulos J. N. A combination of aerial and terrestrial photogrammetry for monitoring. — Photogramm. Eng. and Remote Sens., 1981, v. 47, № 12. 6. Wrobel Bernhard, Ellenbeck Karl-Heiko. Zur Listungsstiegerung der terrestrisch — photogrammetrischen Punktbestimmung. — Bildmess. und Luftbildung, 1977, v. 45, № 3.